

Eastern European Journal of Enterprise Technologies

jet.com.ua

ВОСТОЧНО-ЕВРОПЕЙСКИЙ
ЖУРНАЛ
ПЕРЕДОВЫХ
ТЕХНОЛОГИЙ

ISSN 1729-3774



информационные технологии

інформаційні технології

information
technologies

новая экономика

нова економіка

промышленные технологии

промислові технології

industrial
applications

5/5 (71)
2014

- Прикладная физика
- Материаловедение

5/5 (71) 2014

Содержание

ПРИКЛАДНАЯ ФИЗИКА

- 4 Разработка методов оптимизации тепломассообмена с помощью фрактальных сверток компьютерных томограмм
А. Л. Становский, О. С. Савельева, И. В. Прокопович, А. В. Торопенко, М. А. Духанина
- 10 Поліпшення експлуатаційної стійкості дрібнорозмірного інструменту методом низькотемпературної імплантації іонів
Л. О. Васецька
- 14 Basic regularities of the filtration drying of wheat grain
I. Matkivska, V. Atamanyuk, D. Symak
- 18 Вплив інверсії типу ($L_1 - \Delta_1$) абсолютноого мінімуму на енергію іонізації основного стану мілких донорів в монокристалах n-Ge
С. В. Луньов
- 22 Об образовании стратовой неоднородности в монокристаллах кремния
А. А. Якименко, И. Ф. Червоный
- 25 Схемотехнічні, технологічні та фізико-топологічні методи підвищення швидкодії інтегральних компараторів
С. П. Новосядлий

МАТЕРИАЛОВЕДЕНИЕ

- 34 Моделирование методом Монте-Карло свойств энтропийной эластичности молекул полимеров в атомарном разрешении
М. В. Гранкин, А. А. Каргин, Э. Г. Карпов
- 39 Изучение влияния термической обработки на структуру и свойства спеченных сплавов TiC-Ti-Ni, TiC-Ni-Fe
В. В. Пашинский, М. Г. Субботина
- 45 Исследование электрического контактного сопротивления графита с медью и терморасширенным графитом
А. Я. Карвацкий, С. В. Лелека, И. В. Пулинец, Т. В. Лагарев, А. Ю. Педченко
- 49 Регулювання процесів структуроутворення керамічних мас системи глина полімінеральна-каолініт-польовошпатова сировина
Т. В. Оксамит
- 56 Дослідження впливу шліфування-полірування природного каменю на його бліск та відтінки світлоти
В. І. Шамрай, В. В. Коробійчук
- 61 Аналіз впливу затверджувача лейконату та НВЧ-енергії на міцність клейового шва
О. Г. Медвідь, В. В. Олійникова, Л. Т. Свістунова
- 66 Abstract&References

ПРИКЛАДНАЯ ФИЗИКА

Показано, що проектування процесів і апаратів тепломасообміну потребує методів неруйнівного вимірювання площини обміної поверхні. Для цього запропоновані згортки зображені, які отримуються в комп'ютерному томографі. Експериментально підтверджена наявність максимуму на залежності інтенсивності тепломасообміну від значень таких згорток, що дозволяє ставити та розв'язувати задачі оптимізації технологічних процесів і конструкцій обмінних апаратів

Ключові слова: тепломасообмін, поверхня тепломасообміну, гетерогенні матеріали, комп'ютерна томограма, фрактальна згортка

Показано, что проектирование процессов и аппаратов тепломассообмена нуждается в методах неразрушающего измерения площади обменной поверхности. Для этого предложены свертки изображений, получаемых в компьютерном томографе. Экспериментально подтверждено наличие максимума на зависимости интенсивности тепломассообмена от значений таких сверток, что позволяет ставить и решать задачи оптимизации параметров технологических процессов и конструкций обменных аппаратов

Ключевые слова: тепломассообмен, поверхность тепломассообмена, гетерогенные материалы, компьютерная томограмма, фрактальная

УДК 621.6.035.620.1.08
DOI: 10.15587/1729-4061.2014.279781

РАЗРАБОТКА МЕТОДОВ ОПТИМИЗАЦИИ ТЕПЛОМАССООБМЕНА С ПОМОЩЬЮ ФРАКТАЛЬНЫХ СВЕРТОК КОМПЬЮТЕРНЫХ ТОМОГРАММ

А. Л. Становский

Доктор технических наук, профессор*

E-mail: stanovsky@mail.ru

О. С. Савельева

Доктор технических наук, доцент*

E-mail: okssave@gmail.com

И. В. Прокопович

Кандидат технических наук, доцент

Кафедра технологий и управления литейными процессами**

E-mail: igor.prokopovich@gmail.com

А. В. Торопенко *

E-mail: alla.androsyk@gmail.com

М. А. Духанина

Кафедра металлорежущих станков, метрологии и

сертификации**

E-mail: marianna.dukhanina@gmail.com

*Кафедра нефтегазового и химического машиностроения**

**Одесский национальный политехнический университет

пр. Шевченко, 1, г. Одесса, Украина, 65044

1. Введение

Во многих отраслях машиностроения, химической, нефтегазовой, фармацевтической, пищевой и прочих областях промышленности реализуются процессы, основанные на тепломассообмене на границах между составляющими технологию гетерогенными материалами, компоненты которых могут находиться в любых агрегатных состояниях: твердом, жидком, газообразном и плазменном. Автоматизированное проектирование таких процессов, а также оборудования для их реализации, невозможно без адекватных моделей явлений, происходящих при тепломассообмене, и новых расчетных методов в САПР.

2. Анализ литературных данных и постановка проблемы

Процессы, в которых обмен веществом и/или энергией осуществляется через границы между элементами гетерогенных сред, весьма разнообразны. Это, прежде всего, теплообмен, массообмен, адсорбция, абсорбция и многие другие. Научный и практический интерес к ним огромен и не затухает уже столетия, т. к. импульс транзит субстанции через границу определяет интенсивность обмена, а значит, все его технико-экономические показатели, включая конструкцию оборудования, созданного для проведения этих процессов. Данные процессы относятся к термодинамиче-

ским, самопроизвольным и описываются на первый взгляд, простыми законами.

Так, в качестве основного закона теплоотдачи принят закон Ньютона, в соответствии с которым количество тепла dQ , отданное элементом поверхности dF с температурой t_n в окружающую среду с температурой t_{cp} за время dt , прямо пропорционально разности температур ($t_n - t_{cp}$) и величинам dF и dt [1, 2]:

$$dQ = \alpha(t_{cp} - t_n) dF dt, \quad (1)$$

а при установившемся состоянии процесса теплоотдачи, когда температура среды и поверхности остаются неизменными:

$$Q = \alpha(t_{cp} - t_n) F t \text{ Дж}, \quad (2)$$

где α – коэффициент теплоотдачи.

Как сказано выше, величина коэффициента теплоотдачи α , в свою очередь, зависит от большого числа факторов:

- рода жидкости (газ, пар, капельная жидкость);
- характера течения жидкости (вынужденное или свободное);
- формы поверхности и ее линейных размеров;
- состояния поверхности (растворение, осаждение);
- состояния и свойства жидкости (температура, давление, плотность или удельный вес, теплоемкость, теплопроводность, вязкость и т.п.);
- параметров движения (скорость, турбулентность);
- температуры поверхности.

Основным кинетическим уравнением массообменных процессов является уравнение массопередачи, которое основано на общих кинетических закономерностях химико-технологических процессов [3].

Скорость процесса [$\text{в кг}/(\text{м}^2\text{с})$] равна движущей силе Δ , деленной на сопротивление R :

$$dM/dF = \Delta/dR, \quad (3)$$

где dM – количество вещества, передшедшего из одной фазы в другую в единицу времени; dF – поверхность контакта фаз.

При установившемся состоянии массоотдачи, когда температура среды и поверхности остаются неизменными, обозначив $1/R = K$, получим

$$M = K \Delta F. \quad (4)$$

В последнем выражении, называемом основным уравнением массоотдачи, величина K характеризует скорость процесса переноса вещества из одной фазы в другую. По аналогии с процессом теплоотдачи коэффициент K называют коэффициентом массоотдачи.

Зависимость коэффициентов теплоотдачи и массоотдачи от большого числа факторов не позволяет дать общую формулу для его определения и в каждом частном случае необходимо прибегать к опытным исследованиям [4].

Из (2) и (4) непосредственно вытекает, что такие исследования должны опираться на знание площади тепломассообмена F в любом варианте эксперимента, что позволит функционально связать эту площадь с

параметрами технологии и конструкций и получить зависимости для обратного расчета площадей взаимодействия (α , значит, и конструкции обменных аппаратов) в САПР [5, 6]. В то же время, как указывалось выше, площадь тепломассообмена F в пелодвижных, а тем более, подвижных обменниках, также весьма стохастична даже для аппаратов со строго установленными габаритами.

Поэтому непосредственная оценка текущего значения такой площади позволяет разомкнуть круг «для определения K надо знать F , а для определения F надо знать K ».

Очевидно, что эксперименты для такой оценки должны быть неразрушающими, позволяющими получить максимальную информацию о пространственном расположении границ тепломассообмена для последующего описание их площади, дисперсии и других геометрических характеристик. На сегодняшний день существует способ послойного сканирования внутренних зон различных гетерогенных объектов, – это компьютерная томография, однако, она применяется, в основном, в медицине для просвечивания биологических тканей [7, 8]. Кроме того, результатом томографии является серия изображений, содержащихся в которых интегральную информацию весьма трудно оценить численно.

Основные физические законы, описывающие тепломассообмен через поверхность, весьма просты и содержат в качестве аргумента первую степень площади этой поверхности. Казалось бы, при прочих равных условиях (интенсивность и время обмена) площадь, как целевой функция оптимизации процессов и аппаратов, должна при проектировании последних монотонно возрастать, – увеличить площадь всегда означает повысить обмен! К сожалению, в реальных условиях всегда находятся обстоятельства, не позволяющие наращивать площадь обмена беспредельно, – это габариты аппарата, и предельное увеличение количества его обменных элементов (трубок, насадок, тарелок), и предельное измельчение гранулированных и порошкообразных тепломассообменников, и многое другое. Это определяет наличие максимума целевой функции – количества перешедшего через границу энергии и (или) вещества, а значит и поиск таких характеристик процессов и аппаратов, которые доставляют этот максимум.

Парадокс заключается в том, что, назначая в процессе проектирования параметры и размеры, мы не можем даже приблизительно гарантировать их реализацию в реальном объекте. Например, реальная площадь поверхности теплообмена, – величина, лишь весьма приближенно совпадающая с тем значением этой площади, которое можно получить расчетом, анализируя чертеж теплообменного аппарата. Это связано, во-первых, со сложным, стохастическим рельефом поверхности (шероховатостью на микроуровне и отклонениями от стандартных размеров – на макроуровне), тепловыми деформациями и пр. Кроме того, критическое сближение поверхностей тепломассообмена, неизбежное при увеличении количества элементов, может исказить всю физическую модель процесса, удаляя ее от описания «простых» физических законов. Еще сложнее и стохастичнее дело обстоит тогда, когда элементы теплообменника не только не имеют «стандартных» размеров (произвольные куски материала), но еще и перемещаются в пространстве и времени.

В этих условиях приходится рассчитывать на прямое измерение суммарных поверхностей элементов гетерогенных сред на опытных и лабораторных образцах. Создание методов такого измерения, причем неразрушающего, а также выявление параметров (чем их меньше, тем лучше), которые непосредственно изменяются в этом случае, и является основной проблемой при решении данной задачи.

3. Цель и задачи исследования

Исходя из изложенного, целью работы было принято повышение эффективности оптимизации параметров технологии и конструкции тепломассообменных аппаратов в САПР путем разработки методов неразрушающего контроля геометрических характеристик такого обмена. Эти характеристики должны включать компьютерную томографию внутренней рабочей зоны аппарата, в котором протекают обменные процессы, и последующую свертку ее результатов к одному числу или вектору малой размерности.

4. Оптимизация параметров тепломассообмена с помощью фрактальных сверток компьютерных томограмм

Проектировщики стремятся сделать поверхность тепломассообмена как можно больше, сохранив при этом габаритные размеры соответствующей оснастки или аппарата. Это заставляет их измельчать отдельные элементы, на поверхности которых протекает процесс, и предельно усложняять их форму. Поэтому прямое измерение поверхности обмена в объеме аппарата не представляется возможным. Более реальным выглядит оценка этой поверхности с помощью томограмм. В классической трактовке под томографией понимается метод рентгенологического исследования, которым можно получить один снимок (рис. 1) или множество подобных снимков, являющихся изображением параллельных сечущих слоев малой толщины δ , лежащих на заданных глубинах исследуемого объекта.

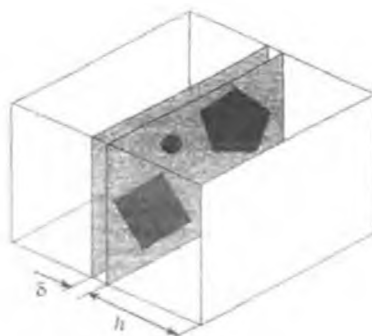


Рис. 1. Схема получения изображения внутреннего слоя объекта методом неразрушающей компьютерной томографии

Наиболее распространение получил метод съемки, при котором исследуемый объект остается неподвижным, а рентгеновская трубка и кассета с пленкой

ког согласованно перемещаются в противоположных направлениях. При синхронном движении трубки и кассеты, четким на пленке получается только необходимый слой, так как только его вклад в общую тень остается неподвижным относительно пленки, все остальное смазывается, почти не мешая проводить анализ полученного изображения [8].

Ранее рентгеновская компьютерная томография использовалась, в основном, в медицинской диагностике, в настоящей работе ее применили для объекта естественной природы. В частности, эксперименты производили с таким объектом поверхностного массообмена (адгезии) как синтетический гранит (сингран), состоящий из гравия, песка и наполняющей смолы). Такая затвердевающая смесь движется по каналам, заполняющим оснастку, постоянно перемешиваясь. При этом поверхностные явления протекают не только в пространстве, но и во времени.

С другой стороны, от интенсивности адгезии зависит не только прочность этого конструкционного материала, но и многие его физические свойства и потребительские характеристики.

Томографические изображения технических гетерогенных материалов типа синграна получились сложными, выполненными в оттенках серого (256 градаций яркости от 0 – черный до 255 – белый) и содержащими контрастные переходы и мелкие детали (рис. 2). Все это позволяет отнести их к фотoreалистическим, требующим значительной мобилизации всех компьютерных ресурсов при их свертке.



Рис. 2. Компьютерная томограмма фрагмента детали из синграна, полученная на томографе Siemens R2000 при напряжении 125 кВ и токе 20 мА; $\times 1$

Для изображений подобного типа можно выделить три основных вида фрактальных сверток, обладающих различными свойствами и подходящих для решения различных задач проектирования (табл. 1).

Так, свертка с помощью расчета хаусдорфовой размерности представляет собой одно число, удобное для экспресс-анализа соответствующих процесса и аппарата, свертка с помощью принципа сжимающих отображений представляет собой значительный массив чисел, который позволяет, однако, довольно быстро восстановить исходное изображение. Это удобно для хранения и передачи соответствующих изображений, а свертка с помощью наработческого преобразования позволяет сводить к одному числу пространственные изображения.

Свертки первого и третьего видов начинаются с того, что у исходного изображения (рис. 3, а) осуществляется выделение границ (рис. 3, б) между элементами гетерогенной смеси [9, 10].

Таблица 1
Виды сверток и их характеристики

№ пн	Вид свертки	Результат свертки	Область применения	Возможность обратного преобразования
1	С помощью расчета хаусдорфовской размерности	Число	Неподвижное изображение	Нет
2	С помощью принципа сжимающих отображений	Массив чисел	Подвижное изображение	Есть
3	С помощью параболического преобразования	Число	Подвижное изображение	Нет

Для свертки второго вида выделение границ не производится, вместо этого кадры томограммы подвергают бинаризации – свечению всего многообразия серых полутонов томограммы к двум: черному и белому. Информационные технологии выполнения трех видов сверток гомографических изображений выглядят следующим образом.

1. Свертка с помощью расчета хаусдорфовской размерности [11, 12].

Как правило, определение корреляционной размерности и энтропия осуществляется для мультифракталов – неоднородных фрактальных объектов, которые имеют не только геометрические, но и статистические характеристики. Другими словами неоднородные фракталы имеют неравномерное распределение точек множества или разную плотность «заселенности» множества.

Поэтому при исследовании мультифракталов говорят об обобщенной фрактальной размерности [11, 13], которая может быть представлена фрактальными (хаусдорфовскими) размерностями.

Как отмечено в работе [13], величина функции мультифрактального спектра фактически равна хаусдорфовой размерности (D) некоторого однородного фрактального подмножества из исходного множества, которое дает доминирующий вклад в статистические характеристики множества. Поэтому в первом приближении можно считать, что D является фрактальной размерностью относительно однородных фракталов в мультифрактальном множестве.

Хаусдорфская свертка начинается (рис. 3 в) с покрытия изображения небольшими квадратами со стороной n . Далее подсчитывается количество таких квадратиков, в которые попадают фрагменты выделенных границ [14, 15].

2. Свертка с помощью принципа сжимающих отображений.

Как известно, фотoreалистичные изображения не являются в точности (полностью) самоподобными, т. е. не содержат такого самоподобия, которое наблюдается во фрактах [16, 17]. Тем не менее, в любом изображении имеются области, которые подобны при различном масштабе.

Отличие такого локального (ограниченного, кусочного) самоподобия от самоподобия, присущего во фрактах, состоит в том, что изображение формируется из преобразованных копий частей самого себя, а не всего самого себя. Эти преобразованные части не образуют точную копию оригинального изображения.

и, следовательно, допускается некоторая ошибка в подобном представлении изображения. Это означает, что изображение, которое кодируется как множество преобразований, применяемых к определенным частям изображения, будет не идентичной копией оригинального изображения, а его аппроксимацией [18].

Фрактальная свертка с помощью принципа сжимающих отображений начинается с разбиения изображения на фрагменты – блоки (рис. 3, г). Основная идея блочного разбиения изображения заключается в том, что изображение μ_{origin} разделяется на N неперекрывающихся ранговых блоков R_i , $i \in \{1..N\}$, которые покрывают все изображение, т. е. содержат каждый пиксель изображения.

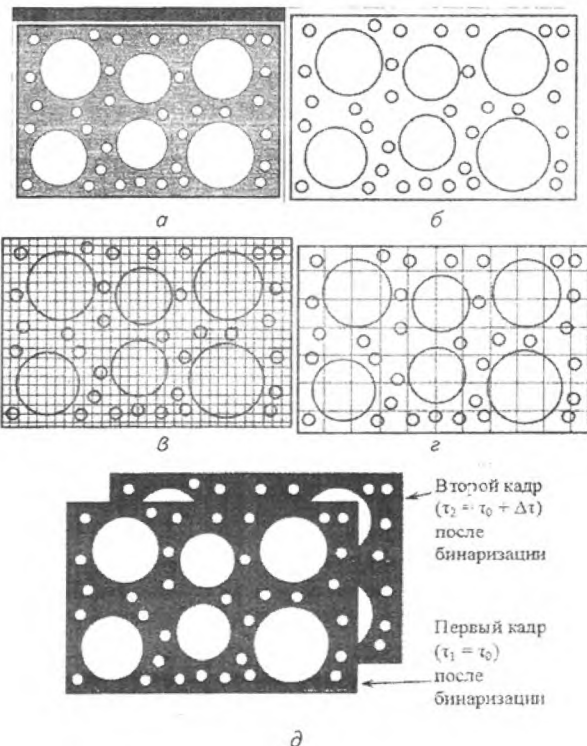


Рис. 3. Схемы этапов свертки поверхности тепломассообмена: *а* – томограмма (сечение); *б* – выделенные границы в сечении; *в* – к расчету хаусдорфовской размерности границ в сечении; *г* – к свертке с помощью принципа сжимающих отображений; *д* – два последовательных кадра после бинаризации, готовые к свертке с помощью параболического преобразования

Затем формируется множество D , состоящее из больших по площади, чем ранговые, доменные блоков D_j , $j \in \{1..M\}$ того же изображения μ_{origin} , которые могут перекрываться и не содержать каждый пиксель изображения.

Далее производится подбор каждому ранговому блоку некоторого доменного, наиболее близкого ему по заданному критерию [19–21].

3. Свертка в результат параболического преобразования.

Эта свертка осуществляется не только в пространстве изображения, но и во времени, т. е. несет в себе

признаки изменения этого изображения или видеопотока (цифрованного видеофильма) [22–24]. Параболическое преобразование заключается в попиксельной обработке двух кадров потока в соответствии с конечно-разностным приближением параболического закона распределения фазовой переменной: температуры, концентрации и т. п.

В результате параболического преобразования на границах подвижных участков изображения с постоянной на каждом участке, но разной между участками яркостью, создается белая линия толщиной в один пиксель на общем черном фоне полученного кадра. Из двух последовательных фотореалистических изображений, подобных изображенному на рис. 2, результат такого преобразования создает картину, напоминающую звездное небо: хаотически расположенные белые точки на черном фоне. Простое суммирование количества этих точек в итоговом изображении превращает результат параболического преобразования в число.

Наличие сверток изображений и видеопотоков в виде одного числа позволяет получить экспериментальные зависимости технологических и конструктивных параметров от этого числа.

Рассмотрим, в качестве второго примера массообменный абсорбционный аппарат – насадочный скруббер, работающий в системе газоочистки установки, удаляющей из выбрасываемых в атмосферу газов такие очень токсичные вещества, как фтористый водород, диоксид серы и оксид углерода. В процессе очистки эти газы абсорбируются пленками жидкости, содержащими растворенные в ней вещества (фтористый натрий, кальцинированная сода, бикарбонат натрия, сульфат натрия), и химически нейтрализуются. В насадочных аппаратах жидкость распределяется по поверхности насадочных элементов (например, небольших полых цилиндров), образуя на них жидкую пленку. Газ движется между элементами в каналах сложной формы, образованных насадкой и стекающей по ней жидкостью [25, 26].

Технические характеристики используемых скрубберов приведены в табл. 2

Таблица 2

Технические характеристики насадочных скрубберов

Типоразмер скруббера	Диаметр аппарата, мм	Производительность, м ³ /ч	Масса, кг
СДК 2,4-2-01	2400	64000–120000	6284
СДК 1,6-2-01	1600	32000–60000	3535
СДК 1,2-2-01	1200	16000–30000	2035

Как видно из табл. 2, производительность скруббера в значительной мере зависит от его габаритов, так как при увеличении внутреннего объема аппарата в нем можно разместить большее количество насадки – множества малых предметов, как правило, сложной формы, что неизбежно приводит к увеличению их суммарной поверхности, а значит, и интенсивности поверхностного массообменного процесса.

Такого увеличения суммарной площади поверхности насадки можно добиться и по-другому: для этого достаточно, не изменяя объема аппарата, уменьшить габаритный размер применяемых насадок. Уравнение, связывающее площадь этой поверхности с интенсивностью процесса абсорбции выглядит так [27]:

$$M = F K_x \Delta X_{cp}, \quad (5)$$

где M – количество вещества, переходящее из газовой смеси в жидкую фазу в единицу времени, или нагрузка аппарата, кг/с; K_x – коэффициенты массопередачи по фазам, кг/(м²·с); ΔX_{cp} – средняя движущая сила процесса абсорбции, кг/кг.

Как следует из (5), при увеличении суммарной площади насадок интенсивность процесса абсорбции должна линейно и монотонно возрастать (1, рис. 4). Практически это не так, и увеличение суммарной площади поверхности насадки за счет ее измельчения не приводит к линейному возрастанию интенсивности.



Рис. 4. Теоретическая (1) и реальная (2) зависимости интенсивности абсорбции от площади поверхности насадки

Как показывает лабораторный эксперимент, измельчение насадки приводит к тому, что кривая зависимости интенсивности абсорбции от площади поверхности насадки проходит через максимум и при дальнейшем измельчении начинает убывать (2, рис. 4). Это связано со снижением проницаемости пористой среды внутри корпуса абсорбера для жидкости и газа, а также с усилением взаимодействия на процесс абсорбции на поверхностях близко расположенных насадок.

В эксперименте интенсивность процесса абсорбции определяли непосредственно на аппарате, удельную площадь поверхности насадки $F_{уд}$ – расчетом по формуле $F_{уд} = \pi R^2$, где R – характерный размер элемента насадки, а сверткой томографии сечения насадки являлась хаусдорфская размерность.

Как сказано выше, экспериментально определить площадь рабочей поверхности насадки очень сложно, а хаусдорфская размерность ее сечения – параметр вполне доступный. Именно по нему и вели оптимизацию конструкции абсорбера, что дало возможность повысить его производительность на 17 % без увеличения исходных габаритов.

5. Выводы

Исследования процессов тепломассобмена на границах между элементами гетерогенных сред показали, что такой распространенный параметр как площадь обмена не всегда может быть использован в качестве оптимизирующего аргумента в процессе проектирования тепломассобменного оборудования. Вместо этого параметра предложены числовые характеристики, представляющие собой свертки изображений сечений активной зоны тепломассобмена.

Предложен метод получения сечений гетерогенных сред с помощью рентгеновского компьютерного томографа, получены реальные томограммы сечений синтетического гранита, при формировании которого происходит интенсивный поверхностный массообмен.

Предложена математическая модель формирования поверхности массообмена в насадочном абсорбере, экспериментально определена зависимость интенсивности массообмена от характерного раз-

мера элементов насадки и подтверждена гипотеза о том, что эта зависимость проходит через максимум, что позволило поставить и решить задачу оптимизации конструктивных параметров теплообменного аппарата.

Практическое испытание такого метода в САПР теплообменного аппарата – абсорбера позволило повысить производительность последнего на 17 % при сохранении его внешних габаритов.

Литература

1. prEN ISO 13790. Thermal performance of buildings – Calculation of energy use for space heating [Text] / Sweden, 2002. – Р. 10 – 31.
2. Valancius, K. Transient heat conduction process in the multilayer wall under the influence of solar radiation [Text] / K. Valancius, A. Skrinska. – Improving human potential program. – Almeria, Spain: PSA, 2002. – Р. 179–185.
3. Кавецкий, Г. Д. Процессы и аппараты пищевой технологии [Текст] / Г. Д. Кавецкий, В. П. Касьяненко. – М.: КолосС, 2008. – 591 с.
4. Реальная структура твердого тела [Электронный ресурс] / М.: МГУ, 2006. – Режим доступа: <<http://www.fam.msu.ru/documents/15real15.pdf>>. – 12.07.2014.
5. Дытнерский, Ю. И. Процессы и аппараты химической технологии [Текст] / Ю. И. Дытнерский. – М : Химия, 1995. – Т 1, 2.
6. Кострова, Г. В. Обладання нафтогазової та хімічної галузі [Текст] / Г. В. Кострова, О. С. Савельєва, О. Л. Становський Одеса: ОНПУ, 2011. – 145 с.
7. Левин, Г. Г. Оптическая томография [Текст] / Г. Г. Левин, Г. Н. Вишняков. – М.: Радио и связь, 1989. – 224 с.
8. Наттерер, Ф. Математические аспекты компьютерной томографии [Text] / Ф. Наттерер. – М.: Мир, 1990. – 288 с.
9. Canny, J. A Computational Approach to Edge Detection [Text] / J. A. Canny – Transactions on pattern analysis and machine intelligence, IEEE. – V. PAMI-8. 1986. – №. 6. – Р. 679–698.
10. Aizenberg, I. Image Processing Using Cellular Neural Networks Based on Multi-Valued and Universal Binary Neurons [Text] / I. Aizenberg, C. Butakoff // Journal of VLSI Signal Processing Systems for Signal, Image and Video Technology. – 2002 – Vol. 32. – Р. 169–188.
11. Федор, Е. Фракталы [Текст] / Е. Федор. – М.: Мир, 1991. – 254 с.
12. Номоев, А. В. Фрактальная размерность зерен керамики с нанодисперсными добавками [Текст] / А. В. Номоев, Л. С. Викулина // Журнал технической физики. – 2012. – Т. 82, Вып. 12. – С. 139–142.
13. Божокин, С. В. Фракталы и мультифракталы [Текст] / С. В. Божокин, Д. А. Наргиз. – Ижевск: НИЦ «Регулярная и хаотическая динамика». 2001. – 128 с.
14. Измеров, М. А. Методы определения фрактальной размерности инженерных поверхностей [Текст] / М. А. Измеров // Вестник Брянского государственного технического университета. – 2006. – № 3(11). – С. 10–19.
15. Мандельброт, Б. Фрактальная геометрия природы [Текст] / Б. Мандельброт. – М.: Институт компьютерных исследований, 2002. – 656 с.
16. Lauwerier, H. A. Fractals (Mathematics, Programming and Applications) [Text] / H. A. Lauwerier, J. A. Kaandorp // Report CS-R8762 – Centre for Mathematics and Computer Science, Amsterdam, The Netherlands, 1987. – Р. 1–33.
17. Lin, H. Fast pyramidal search for perceptually based fractal image compression [Text] / H. Lin, A. N. Venetsanopoulos – Department of Electrical and Computer Engineering, Toronto University, Canada, 1996. – Р. 1–4. doi: <http://dx.doi.org/10.1109/icip.1996.559461>
18. Fisher, Y. Fractal image compression [Text] / Y. Fisher – SIGGRAPH'92 Course Notes: From Folk Art to Hyperrealism, Prusinkiewicz, ed., 1992. – Р. 1 – 21.
19. Востров, Г. Н. Принцип сжимающих отображений и его применение для фрактального сжатия изображений [Текст] / Г. Н. Востров, Т. А. Абу Айтап – Труды Одесского политехнического университета. – 2001. – Вып. 2 (14). – С. 96–99.
20. Кроновер, Р. М. Фракталы и хаос в динамических системах [Текст] / Р. М. Кроновер. – М.: Постмаркет, 2000. – 198 с.
21. Колмогоров, А. Н. Элементы теории функций и функционального анализа [Текст] / А. Н. Колмогоров, С. В. Фомин. – М.: Наука, 1989. – 267 с.
22. Востров, Г. М. До читання про фрактальнє кодування відеопотоків [Текст] / Г. М. Востров, Г. А. Абу Айтап, Н. О. Становський. – Наукові початки. Міжвузівський збірник. – 2005. – Вип. 17. – С. 41–48.
23. Тонконогий, В. М. Видеопроцессинг изображений в системе автоматического измерения дефектности износостойких покрытий на ручном инструменте [Текст] / В. М. Тонконогий, Н. А. Становский // Труды ОНИУ. – 2005. – Вып. 1 (23). – С. 112–115.
24. Становский, Н. О. Розробка методу фрактального кодування-декодування відеопотоків [Текст] / Н. О. Становский, С. В. Малахов, О. О. Арсірій // Труды ОНИУ. – 2007. – Вып. 2 (28). – С. 113–116
25. Лаптев, А. Г. Основы расчета и модернизация тепломассообменных установок в нефтехимии [Текст] / А. Г. Лаптев, М. И. Фараход, Н. Г. Минеев. – Казань: КГЭУ, 2010. – 574 с.
26. Лаптев, А. Г. Методы интенсификации и моделирование тепломассообменных процессов [Текст] / А. Г. Лаптев, Н. А. Николаев, М. М. Башаров. – М.: Теплотехник, 2011. – 335 с.
27. Скобло, А. И. Процессы и аппараты нефтгазопереработки и нефтехимии [Текст] / А. И. Скобло, Ю. К. Молоканов, А. И. Владимиров, В. А. Щелкунов. – М.: Центр-Бизнесцентр, 2000. – 677 с.